

京都大学防災研究所

正会員

芦田和男

○高橋 保

1. 砂防ダムの調節効果 砂防ダムは土砂を貯留する効果に加えて、溝砂後も、流出土砂量の多い洪水時に堆砂勾配を急にし、その後流出させることにより、流下土砂量を調節する効果を持っています。これが指摘され、砂防基本計画にも取り入れられていました。しかし、この調節効果は極めて重要な問題であるにもかかわらず、一般的にどのような条件が満足される場合に發揮されるのか、その調節量はどの程度であるかといった定量的な関係はほとんど明らかにされていません。著者らは、こうした問題を明確にするためには、水理学的な検討が必要であると考え、本研究に着手しました。

水理学的な手法によってこの問題を取り扱うためには、次の2点が解明されなければなりません。

(1)砂防ダム堆砂域へ流下する流量と流砂量の関係ならびに粒度分布の推定法。

(2)移動床の抵抗則、流砂量式、水みち幅の推定法ならびにこれらにともづく河床変動の算定法。

(1)については現在までの所ほとんど解明を見ていない。(2)については、水みち幅と河道幅が等しい場合について、従来より多くの研究がなされていましたが、その適合性は必ずしも十分ではない。とくに勾配が急で、粒度分布が広く、かつ水路幅が流下方向に向り変化するような複雑な条件を持つ砂防ダムについての研究は比較的少ない。

ここでは(2)の問題を取りあげ、芦田・道上によつて最近提案された移動床の抵抗則ならびに掃流砂量式を用いて、砂防ダム上流の平衡勾配の算定式を求め、実験によつてその検証を行なつた。本論では水みち幅の推定法についても述べていなかつた。こうした問題を取り扱つて行く上で非常に重要なので、今後検討して行きたい。

砂防ダムが設けられるような溪流では、一般に平常は大砾石あるいは岩盤が露出し、その地表の河床材料から洪水時の流送土砂量を推定することはできず、土砂の生産地（山腹崩壊地あるいは渓流における砂礫の貯留領域）の水理量を用いて算定しなければならない。生産地における砂礫の輸送形態は掃流、浮流、土石流に大別され、ダムに堆積する場合には掃流あるいは土石流の形式をとるであろう。土石流についてはどのような条件で発生し、どのような運動方程式によつて記述されるかは未だ明確でない。これによる砂防ダム上流の堆砂勾配を議論することは現状では困難である。一方、浮流砂が卓越する場合には流量と流砂量の関係は $Q_0 \sim Q$ のようになるようであり、掃流砂が卓越する場合には、近似的に $Q_0 \sim Q \ln(Q/Q_0)$ のように書けるので、ほか Q_0 に対して大きい場合、ほか $Q_0 \sim Q$ のような関係が得られる。ただし、一般的の溪流では航行決して無視はできず、 Q_0 と Q の関係は今後明らかにして行ななければならぬ。しかし、掃流あるいは浮流形式で輸送されてきた砂礫が堆積する場合には、 Q_0 と Q が独立変数として考えられるものとすれば、堆積勾配を求めることができ。溪流での洪水の継続時間は短く、定常とは考えられないが、調節容量を考えるという面からは定常状態に対する解が参考となる。したがつて、ここでは Q_0 と Q および河道条件からえた場合の動的および静的平衡勾配を考えることにする。

2. 砂防ダムの堆砂勾配に関する理論

(1)動的平衡勾配 砂防ダムが築造される以前の渓流が一定こう配と一様な断面形状を持っているものとし、砂防ダム堆砂による河道幅の増大に伴なう堆砂勾配を考えよう。河道幅が拡かり、堆砂によって勾配が緩くなるような領域では、限界摩擦速度はその地盤の摩擦速度に比べて無視することはできないので、これを考慮に入れた解析を行なう。

図-1を参照して、通常用いられる記号を使、て水流の運動方程式を書く。

$$-i_0 + \frac{dz}{dx} + \frac{dh}{dx} + \frac{d}{dx} \left(\frac{U^2}{2g} \right) + \frac{U_x^2}{gR} = 0 \quad \dots \dots \dots (1)$$

であり、連続式は、 $Q = gB = \text{const.}$ $\dots \dots \dots (2)$

である。一方、芦田・道上によると提案された流砂量式は

$$\frac{q_B}{u_{x0} c d} = 17 T_{re} \left(1 - \frac{T_{re}}{T_*} \right) \left(1 - \sqrt{\frac{T_{re}}{T_*}} \right) \quad \dots \dots \dots (3)$$

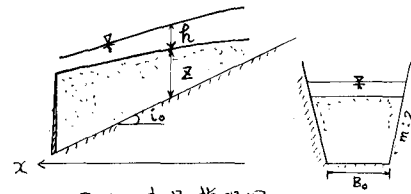


図-1 記号説明図

である。ただし、 u_{x0} は砂粒に働く有効摩擦速度である。また、流砂の連続式および抵抗則は

$$Q_B = g_B B = \text{const.} \quad \dots \dots \dots (4)$$

$$\frac{U}{U_*} = \varphi \left(\frac{R}{d}, T_* \right) \quad \dots \dots \dots (5)$$

のようにならう。したがって、問題は(1)～(5)式を用いて dz/dx の値を求めることに帰着する。ただし、流砂は混合粒径であるが、動的平衡状態が満足されていける場合には、流入するすべての粒子は移動状態にあり、流砂量および限界掃流力は平均粒径に等しい均一砂に対するものに等しいと考えてもよいであらう。

$\varphi = U/h$ であるから、(5)式を用いて、 $i_0 = Q/(u_{x0} \varphi B)$ となる。これを x で微分して(1)式を用いると

$$(1 + \frac{Q}{u_{x0} \varphi^2 B} \frac{\partial \varphi}{\partial R}) \frac{dh}{dx} = - \frac{Q}{u_{x0}^2 \varphi^2 B^2} \left(\varphi B \frac{du_x}{dx} + u_{x0} B \frac{\partial \varphi}{\partial T_*} \frac{dT_*}{dx} + u_{x0} \varphi \frac{dB}{dx} \right) \quad \dots \dots \dots (6)$$

を得る。一方、(3)式を考慮して(4)式を x で微分することにより、

$$\frac{dB}{dx} \frac{U_*^2}{u_{x0}^2} \left(1 - \frac{U_*^2}{U_x^2} \right) + 3B U_{re} \left(1 - \frac{U_*^2}{U_x^2} \right) \frac{du_x}{dx} + B \frac{du_x}{dx} \left\{ 2 \frac{U_*^2}{u_{x0}^2} \frac{U_*^2}{U_x^2} + U_*^2 \left(1 + \frac{U_*^2}{U_x^2} \right) \frac{U_*^2}{U_x^2} \right\} = 0$$

となる。いま、 $U_{re} = \varphi U_x$ $\dots \dots \dots (7)$

と書き換えるとすれば、上式より

$$\frac{du_x}{dx} = - \frac{\frac{U_*^2}{u_{x0}^2} U_x \left(1 - \frac{U_*^2}{U_x^2} \right)}{B \left\{ 3 \frac{U_*^2}{u_{x0}^2} + U_*^2 \left(1 + \frac{U_*^2}{U_x^2} \right) \frac{U_*^2}{U_x^2} \right\}} \frac{dB}{dx} \quad \dots \dots \dots (8)$$

となる。(8)式を(6)式に入れると dh/dx を求めることができる。同様にして、 $g(U^2/2g)$ 、 U_x^2/gR を多少の近似を含めて計算し、図-1に示したような台形断面として

$$\frac{dB}{dx} = B_0 m \frac{dz}{dx} \quad \dots \dots \dots (9)$$

を用い、

$$m = U_{re}/U_x \quad \dots \dots \dots (10)$$

のよう一層くことにはすれば、(1)式より

$$\frac{dz}{dx} \left[1 + B_0(m^2+1) \frac{\frac{Q}{U_*^2 g B^2} \left\{ \left(1 + \frac{2T_f}{q} \frac{\partial q}{\partial R} \right) \frac{T_f^2 (1-a^2)}{3R^2 + a + (1-k^2)a^2} - 1 \right\}}{1 + \frac{Q}{U_*^2 g^2 B} \frac{\partial q}{\partial R}} + B_0(m^2+1) \frac{q U_*^2}{g B} \left\{ \frac{R^2 (1-a^2)}{3R^2 + a + (1-k^2)a^2} (-q + \frac{\partial q}{\partial R} \frac{Q}{U_*^2 g B}) - \frac{1}{1 + \frac{Q}{U_*^2 g^2 B} \frac{\partial q}{\partial R}} \right\} \right] \\ = l_o - \frac{U_*^3 q B}{g Q} \quad \dots \dots \quad (11)$$

を得る。砂防ダムが築造されるような溪流では upper flow regime に属する場合が多いものと考えられるので、ここではそのような場合を対象として、(11)式の関係に苗田・道上の式を

$$q = \frac{V}{U_*} = 6.0 + 5.75 \log_{10} \frac{R}{d(1+2T_f)} \quad \dots \dots \quad (12)$$

$$\text{を用いることにし, } G = (1-a^2)(1-a) \quad \dots \dots \quad (13)$$

とおいて、upper flow regime で $k \approx 1$ であることに着目すれば、(11)式より

$$\frac{dz}{dx} = \frac{l_o - \frac{(T_f-1)q}{17G} \frac{QB}{Q}}{1 + \frac{m Q^{7/3}}{\frac{(T_f-1)8}{17q} \frac{QB}{Q} \left\{ \frac{1}{3} q B_0^{2/3} (1+m^2)^{7/3} \right\}} \left[\frac{\left(1 - \frac{2T_f}{q} \frac{5}{1+2T_f}\right) \frac{1-a^2}{3+a} - 1}{1 + \frac{2.5}{q}} + \frac{q^2(T_f-1)}{17G} \frac{QB}{Q} \left\{ \frac{1-a^2}{3+a} \left(-q + \frac{2.5}{1+2T_f} \right) - \frac{1}{1 + \frac{2T_f}{q} \frac{5}{1+2T_f} + \frac{10T_f}{17q}} \right\} - \frac{2.5}{1+2T_f} \right]} \quad \dots \dots \quad (14)$$

が得られる。ただし、 l_o および G は (12) 式より求められる。

(14)式は種々を遂行することができないが、次のようにして簡単に数値計算ができる。

① 堀地率の (m^2+1) の値に対して、② q を仮定する、③ $U_*^3 q = (T_f-1)8GB/17GB_0(1+m^2)$ を満足する q を求める。④ $R = q U_*^2 B_0(1+m^2)$ をより先を求める。⑤ (12)式によ、 q を求める。⑥ ⑦ で求めた q が ② の q に一致するまで繰返す。⑧ (14)式より $\frac{dz}{dx}$ を求める。⑨ つきの (m^2+1) の値へ前進して計算を繰返す。

(2) 静的平衡勾配 動的平衡勾配が形成されている状態では給砂が停止すると、河床低下が起り armouring 現象が生じて、 d_{max} が移動限界状態となるよう勾配とは、己静的平衡状態となるものと考えられる。 d_{max} に対する移動限界梯流力 T_{cmax} は Eijazareff の式で与えられるものとする。

$$\frac{T_{cmax}}{T_c} = \left\{ \frac{\log_{10} 19}{\log_{10} (19 d_{max}/d)} \right\}^2 \frac{d_{max}}{d} \quad \dots \dots \quad (15)$$

抵抗則としては、最大粒径が重要な役割を演ずるものと考えて

$$q = \frac{V}{U_*} = 6.0 + 5.75 \log_{10} \frac{R}{d_{max}} \quad \dots \dots \quad (16)$$

が成立するものとする。以下、動的平衡の場合と同様にして

$$\frac{dz}{dx} = \frac{l_o - U_*^3 q B_0 (1+m^2)/g Q}{\left\{ 1 - \frac{m Q}{\left(1 + \frac{2.5}{q}\right) U_*^2 q B_0 (1+m^2)^2} - \frac{U_*^2 q m}{g (1+m^2)} \frac{2.5}{1 + \frac{2.5}{q}} \right\}} \quad \dots \dots \quad (17)$$

が得られる。(17)式も(14)式同様数値計算を行なえる。すなむち、①(15)式より q を求める。② (m^2+1) を求める。③ q を仮定する。④ $R = q U_*^2 B_0(1+m^2)$ をより先を求める。⑤ (16)式より q を求める。⑥ ⑦ で求めた q が ② の q に等しくなるまで繰返す。⑧ (17)式より $\frac{dz}{dx}$ を求める。

3. 実験 以上の結果の検証と平衡勾配の特性を明らかにする目的で、長さ 15m、平均勾配 2.05

、底幅7.7cm、上幅37.3cm、高さ19.4cmの台形断面水路で実験を行なった。ただし、水路は相当狭んでいて、堆砂のある部分の平均勾配は $i_0 = 0.042$ である。使用砂は $d_m = 0.148$ cm,

$\sqrt{d_{90}/d_{16}} = 2.64$ である。図-2は $Q/Q_0 = 0.0038$ の一

定値を保持して行なった場合の平衡形状を示していきが、この場合、流量が増加するほど

堆砂勾配が緩くなる傾向にあることに注意を

要する。すなわち、流砂量が流量に比例する

場合には調節効果はあらわれず、かえって流

下土砂量が多くなる。Run 2, Run 3 では

は実験値と計算値とが比較的よくあ、ていが

がRun 1 では少し違つていい。これはRun 1 で

は水深がほぼ最大粒径程度で小さく、このよ

うの場合に流砂量式(1)の適用性に範囲がある

ことを示している。図-3はRun 3の状態を初期

条件としてRun 4からRun 5へ次第に流量を増

加させて静的平衡状態を作り、そので、Run 4

でRun 3の動的平衡勾配がすでにRun 4に相当

する平衡勾配よりも緩くなつて、そのためarounally

は起るが河床の低下は起らぬ。Run 5からRun

6 で d_{max} として d_{95} をとって計算した結果が実験値と比較的よく説明していい。

以上は水通しのない坊主堰堤の場合であるが、

堰の中央部に幅10cm、深さ5cmの長方形の水

通しを設けて実験を行なつた結果が図-4であ

る。ただし、Run 7はRun 1と同じ流量および給砂条件で行なつたもので、Run 8はRun 4と同じ条件である。

Run 7では坊主堰堤の場合と同様に、水路幅全体が有効であるとして計算した結果が実験値とよくあ

つていい。しかし、Run 8の静的平衡の場合には、水路幅全体が有効であるとした計算値は河床勾配の傾向を説明できていない。これは、堆積正面への流入幅と堰の流出幅によって規定されるであろうある幅のみが有効断面となる洗掘を受け、新しい水みちが形成されることによるものである。水みち形成の傾向は動的平衡のRun 7でも流砂幅と水流の幅が異なる状態となつてあらわれていい。

以上、いかゆる各個運搬の形態での流出砂堆の堆積勾配がここで導いた平衡勾配の式によつて比較的よく説明されることをあわせたが、水みち幅がどうしてきまるのか、水深が最大粒径と同程度であ

る場合の流砂量式はどうか、さらには山地において流量と流砂量の関係はどうか、といふ問題点を究明しなければ調節機能を十分に説明することができないので、今後研究を推進したい。

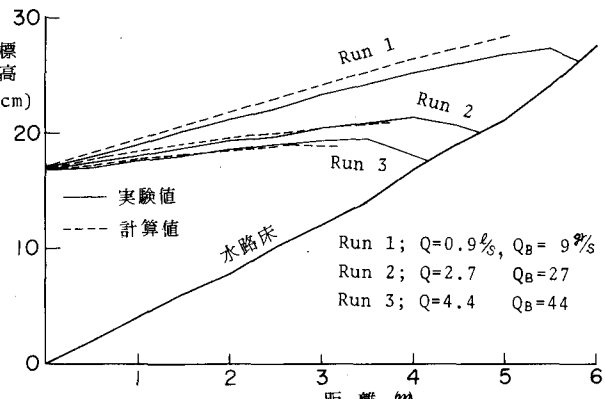


図-2 動的平衡勾配 ($Q/Q_0 = \text{const.}$)

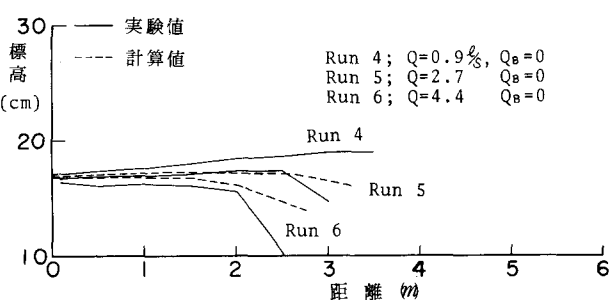


図-3 静的平衡勾配 (初期河床はRun 3に与えたもの)

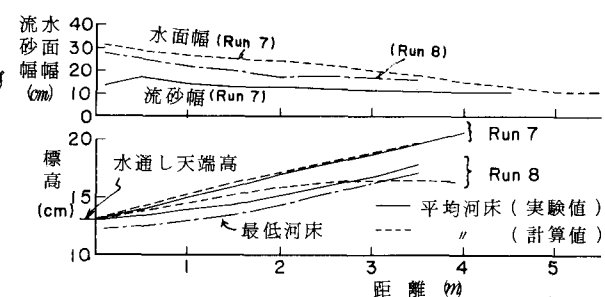


図-4 水通しのある場合の平衡勾配と流砂・水面幅

。ただし、Run 7はRun 1と同じ流量および給砂条件で行なつたもので、Run 8はRun 4と同じ条件である。

Run 7では坊主堰堤の場合と同様に、水路幅全体が有効であるとして計算した結果が実験値とよくあ

つていい。しかし、Run 8の静的平衡の場合には、水路幅全体が有効であるとした計算値は河床勾配の傾向を説明できていない。これは、堆積正面への流入幅と堰の流出幅によって規定されるであろうある幅のみが有効断面となる洗掘を受け、新しい水みちが形成されることによるものである。水みち形成の傾向は動的平衡のRun 7でも流砂幅と水流の幅が異なる状態となつてあらわれていい。

以上、いかゆる各個運搬の形態での流出砂堆の堆積勾配がここで導いた平衡勾配の式によつて比較的よく説明されることをあわせたが、水みち幅がどうしてきまるのか、水深が最大粒径と同程度であ

る場合の流砂量式はどうか、さらには山地において流量と流砂量の関係はどうか、といふ問題点を究明しなければ調節機能を十分に説明することができないので、今後研究を推進したい。